

88 IDENTIFICACIÓN ENDOSCÓPICA DE PATRÓN MUCOSO NORMAL, ATROFIA Y METAPLASIA INTESTINAL PARA LA PREVENCIÓN DE CÁNCER GÁSTRICO: VALIDACIÓN Y CORRELACIÓN INTEROBSERVADOR DE CLASIFICACIONES YAGI-AB Y ABC ANTRAL.

congastro2025-88

Barrera M¹, Uribe J¹, Corsi O¹, Peña JT², Torres J², Pérez J¹, Fernández M³, Valdés A³, Arteaga M¹, Latorre G¹, Candía R^{1*}.

¹Departamento de Gastroenterología, Facultad de Medicina, Pontificia Universidad Católica de Chile.

²Departamento de Anatomía Patológica, Pontificia Universidad Católica de Chile.

³Alumnos de Medicina, Pontificia Universidad Católica de Chile.

Introducción La detección de patrón mucoso gástrico (PMG) anormal es clave para una endoscopia de calidad. El rendimiento diagnóstico (RDg) de las clasificaciones del PMG no ha sido validada en Chile. **Objetivo** Validar dos clasificaciones de PMG en población chilena y medir su RDg en endoscopistas expertos (Exp) y becados de gastroenterología (BG). **Métodos** Imágenes endoscópicas de alta definición con biopsias gástricas dirigidas fueron evaluadas por dos Exp. Mediante consenso se clasificó el PMG corporal por YagiAB, el PMG antral por la clasificación ABC, propuesta por *Pimentel et al.* Se midió el RDg para detectar condiciones de riesgo: atrofia moderada-severa, metaplasia intestinal o displasia (AMID). Mediante kappa ponderado se evaluó la correlación interobservador entre Exp y BG, todos ciegos a la histología. **Resultados** Se incluyeron 110 ptes; 59±11 años; 59% mujeres; 34% tenía AMID en cuerpo, 27% en antro; 3.6% displasia; 20% OLGAI-IV. 268 imágenes fueron evaluadas. En la tabla 1 se detalla el RDg del YagiAB corporal y el patrón ABC antral determinados por Exp. El kappa para YagiAB corporal y ABC antral entre Exp y BG de 1er año fue 0,81 y 0,4 (p<.001); entre Exp y BG de 2do año, 0,86 y 0,31 (p<.001), respectivamente. Los Exp detectaron AMID corporal y antral en el 100% y 95.3% de los casos, los BG de 1er año en el 93.9% y 72%, los de 2do año en el 93.9% y 90.6%, respectivamente. **Conclusión** Las clasificaciones YagiAB y ABC antral permiten detectar AMID en pacientes chilenos. La correlación entre Exp y BG es alta para el PMG corporal, pero deficiente para PMG antral.

| Yagi AB | Atrofia moderada o severa, metaplasia intestinal o displasia corporal | | Imágenes totales |
|--|---|-------------------|-------------------|
| | No | Si | |
| B0-B1 | 35 (100%) | 0 (0%) | 35 (26.9%) |
| B2 | 33 (100%) | 0 (0%) | 33 (25.4%) |
| B3 | 9 (90%) | 1 (10%) | 10 (7.7%) |
| A1 | 14 (50%) | 14 (50%) | 28 (21.5%) |
| A2 | 6 (25%) | 18 (75%) | 24 (18.5%) |
| Total | 97 (74.6%) | 33 (25.4%) | 130 (100%) |
| Valor p para la asociación: <0.0001 (Prueba de Fisher) | | | |
| ABC antral | Atrofia moderada o severa, metaplasia intestinal o displasia antral | | Imágenes totales |
| | No | Si | |
| A | 53 (94.6%) | 3 (5.4%) | 56 (40.6%) |
| B | 19 (30.6%) | 43 (69.4%) | 62 (44.9%) |
| C | 2 (10%) | 18 (90%) | 20 (14.5%) |
| Total | 74 (53.6%) | 64 (46.4%) | 138 (100%) |
| Valor p para la asociación: <0.0001 (Prueba de Fisher) | | | |

patrón mucoso corporal evaluado mediante Yagi AB y el patrón antral por la clasificación ABC, propuesta por *Pimentel et al.* 268 imágenes en alta definición fueron evaluadas por dos endoscopistas expertos (figura 1). Ambas clasificaciones demostraron un alto rendimiento diagnóstico en endoscopistas chilenos. Los patrones corporales B0-B1-B2 y el patrón antral A descartan, con un alto rendimiento diagnóstico, la presencia de condiciones de riesgo de cáncer gástrico.



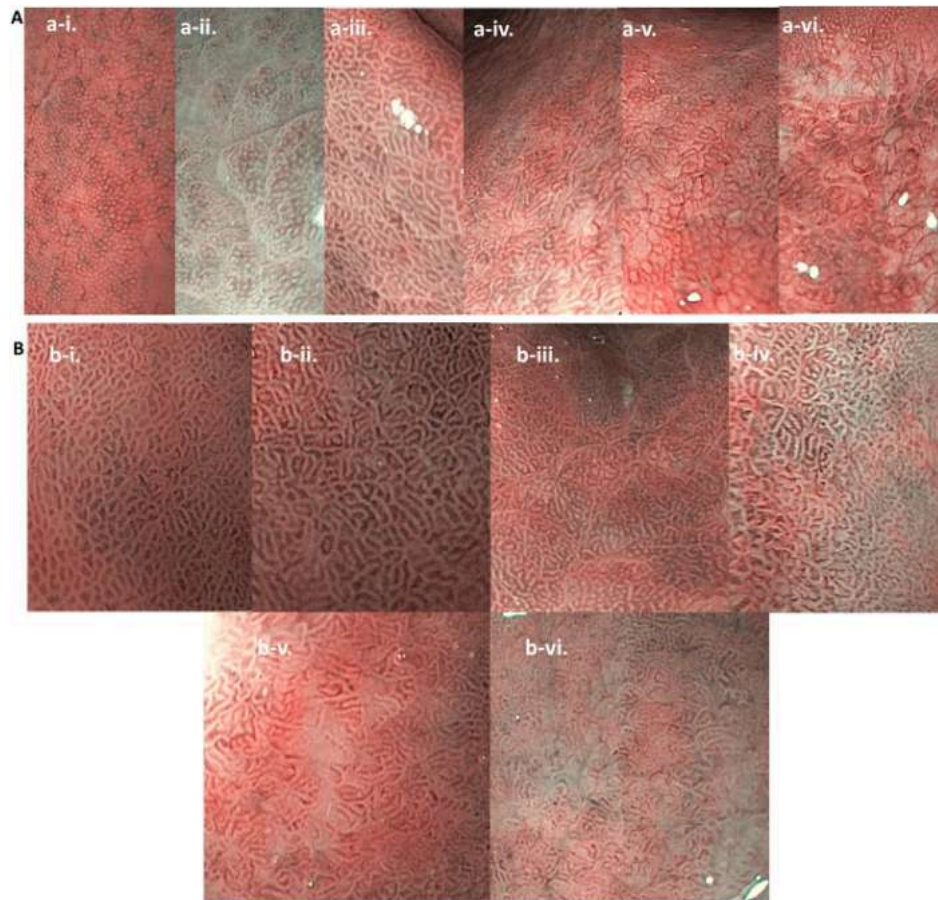


Figura 1A. Ejemplos de patrón mucoso corporal según la clasificación Yagi AB. Los patrones B0, B2, B3, corresponden a las figuras a-i, a-ii, a-iii, respectivamente. El patrón antralizado A1 está representado en las figuras a-iv y a-v, el patrón A2 por la figura a-vi.

Figura 1B. Ejemplos de patrón mucoso antral según la clasificación ABC. El patrón A (normal), está representado en las figuras b-i y b-ii. El patrón B está representado por las figuras b-iii y b-iv, esta última con signos de metaplasia intestinal, El patrón C está representado por las figuras b-v y b-vi, ambas con signos de metaplasia intestinal.